冷昌龙,皮明山,龚晓康.单次大剂量对比多次小剂量 STZ 诱导 C57BL/6J 小鼠糖尿病肾病模型的研究 [J].中国比较医学杂志,2021,31(9):113-118.

Leng CL, Pi MS, Gong XK. Single high-dose versus multiple low-dose streptozotocin for inducing diabetic nephropathy in C57BL/6J mice [J]. Chin J Comp Med, 2021, 31(9): 113-118.

doi: 10.3969/j.issn.1671-7856. 2021. 09. 017

单次大剂量对比多次小剂量 STZ 诱导 C57BL/6J 小鼠糖尿病肾病模型的研究

冷昌龙,皮明山,龚晓康*

(江汉大学武汉生物医学研究院,武汉 430000)

【摘要】目的 对比研究不同剂量链脲佐菌素(streptozotocin,STZ)联合高糖高脂饮食诱导 C57BL/6J 小鼠糖尿病肾病模型的稳定性。方法 48 只雄性 C57BL/6J 小鼠随机分为:对照组(注射等体积柠檬酸缓冲液,12 只),单次大剂量(150 mg/kg STZ,单次腹腔注射联合高脂高糖,18 只),多次小剂量剂量(50 mg/kg STZ,连续注射 4 d 联合高脂高糖,18 只)。检测两种造模方法在空腹血糖(fasting blood glucose,FBG)、饮水量、血脂、24 h 尿蛋白、肾功能及肾病理等方面的改变。结果 注射 STZ 后,单次大剂量组小鼠体重缓慢增加,而多次小剂量组小鼠体重出现负增长;单次大剂量小鼠 FBG、饮水量在注射 STZ 4 周后达到峰值,24 h 尿蛋白在注射 STZ 6 周后达到峰值,随后逐渐降低;多次小剂量组 FBG、24 h 尿蛋白及饮水量一直稳定上升并维持在较高水平;实验结束时多次小剂量组小鼠FBG、24 h 尿蛋白及饮水量一直稳定上升并维持在较高水平;实验结束时多次小剂量组小鼠FBG、24 h 尿蛋白、血清甘油三酯(triglyceride,TG)、总胆固醇(total cholesterol,TC)、低密度脂蛋白(low density lipoprotein,LDL)、血清肌酐(serum creatinine,Scr)、血清尿素氮(blood urea nitrogen,BUN)、肾脏指数(kidney index,KI)及肾小球还原糖水平均显著高于单次大剂量组(P<0.05),且肾病理改变更为明显。结论 多次小剂量注射STZ 联合高糖高脂饮食建立小鼠糖尿病肾病成模率高、死亡率低、稳定性好,具有人类糖尿病肾病相似的发病过程和病理特征,是理想的糖尿病肾病造模方法。

【关键词】 糖尿病肾病;链脲佐菌素;高糖高脂饮食;C57BL/6J 小鼠

【中图分类号】R-33 【文献标识码】A 【文章编号】1671-7856 (2021) 09-0113-06

Single high-dose versus multiple low-dose streptozotocin for inducing diabetic nephropathy in C57BL/6J mice

LENG Changlong, PI Mingshan, GONG Xiaokang*
(Wuhan Institute of Biomedical Sciences, Jianghan University, Wuhan 430000, China)

[Abstract] Objective To explore the optimal method of producing a streptozotocin-induced diabetic nephropathy C57BL/6 mice model by investigating a molded rate of single high-dose and multiple low-dose streptozotocin injections. Methods Male C57BL/6J mice (n = 48) were randomly divided into three groups: the normal group and two diabetic nephropathy groups. Mice in one model group (the single high-dose group) were intraperitoneally administered 150 mg/kg streptozotocin after having a high fat/high sucrose diet. The other model group (the multiple low-dose group) was intraperitoneally administered 50 mg/kg streptozotocin for 4 consecutive days after having a high fat/high sucrose diet. The

fasting blood glucose levels, body weight, water intake, 24 h urine protein, renal function and renal pathological changes of the three groups were measured. **Results** The body weight of the single high-dose group increased stably after streptozotocin injection, while the body weight of the multiple low-dose group decreased by inches after streptozotocin injection. Moreover, the fasting blood glucose levels, water intake and 24 h urine protein increased stably in the multiple low-dose group from week 2 to week 10. The levels of fasting blood glucose, 24 h urine protein, total cholesterol, triglycerides, low density lipoprotein, serum creatinine, blood urea nitrogen and kidney/body weight ratio were significantly higher in the multiple low-dose group than in the single high-dose group (P < 0.05) and the change in pathology was apparent. **Conclusions** The multiple low-dose streptozotocin injection protocol is a reasonable method for inducing mouse diabetic nephropathy.

[Keywords] diabetic nephropathy; streptozotocin; high fat/high sucrose diets; C57BL/6J mice

糖尿病肾病(diabetic nephropathy, DN)是以蛋 白尿、水肿、高血压和肾功能不全为主要临床表现 的糖尿病并发症,也是引起终末期肾病,导致糖尿 病患者死亡的主要病因之一[1]。DN 在我国的发病 率呈逐年上升趋势,20%~30%的糖尿病患者会并 发糖尿病肾病,严重影响了患者的生活质量[2]。目 前对 DN 的研究虽然很多,但其具体的发病机制仍 未完全阐明。因此,建立一种简单、经济、稳定可 靠,同时病理表现与人类糖尿病肾病类似的动物模 型对于深入研究 DN 的发病机制及新药开发有着非 常重要的意义。DN 动物模型主要分为诱发型和自 发型[3-4]。自发型模型大小鼠价格昂贵,对环境要 求高,严重限制了相关研究的开展。诱发型模型常 用 STZ 进行诱导,造模过程中 STZ 的注射剂量直接 影响动物模型成模率及成模稳定性,但国内外 STZ 造模法中 STZ 剂量选用报道众多,尚存有争议[5-6]。 本研究选取单次大剂量单次注射和多次小剂量连 续注射 STZ 联合高糖高脂饮食建立 DN 模型,对比 观察造模过程中模型的稳定性,旨在探索更为合理 的糖尿病肾病的造模方法。

1 材料和方法

1.1 实验动物

6 周龄 SPF 级雄性 C57BL/6J 小鼠(18~20)g, 共48 只,购于北京维通利华公司[SCXK(京)2016-0006]。饲养于江汉大学医学院动物实验中心 [SYXK(鄂)2018-0042],恒温恒湿(温度:(23±2)℃,相对湿度:60%~70%),12 h 明暗交替,动物自由进食饮水。本实验通过江汉大学医学院实验动物伦理审查(IACUC20191210),依据优化、减少、替代的 3R 原则进行实验设计。

1.2 主要试剂与仪器

链脲佐菌素(美国 Sigma 公司),用 pH=4.2 的

0.1 mol/L 柠檬酸-柠檬酸钠缓冲液在冰浴中配制, 现配现用;安准血糖仪及血糖试纸(瑞士罗氏公司);尿蛋白检测试剂盒、血清肌酐检测试剂盒、血清尿素氮检测试剂盒、总胆固醇检测试剂盒、甘油三酯检测试剂盒、低密度脂蛋白检测试剂盒由南京建成生物工程研究所提供;PAS染色试剂盒(上海源叶生物);高糖高脂饲料(10%猪油、20%蔗糖、2.5%胆固醇、1.0%胆酸盐、66.5%普通饲料,江苏美迪森生物医药有限公司)。小鼠代谢笼(上海玉研生物);AU5800全自动生化分析仪(美国Beckman);MULTISKAN GO酶标仪(美国Thermo);EC 350-1石蜡包埋机(美国Thermo);MICROM HM 340E石蜡切片机(美国Thermo);BX 51显微镜(日本OLYMPUS)。

1.3 实验方法

1.3.1 糖尿病肾病模型小鼠制备及分组

小鼠适应性喂养 7 d 后随机分为 3 组,即普通饲料喂养组(对照组)12 只,高脂高糖饲料喂养+STZ 单次大剂量组 18 只,高脂高糖饲料喂养+STZ 多次小剂量组 18 只。STZ 造模组喂养高脂饲料 4 周后,小鼠禁食不禁水 12 h,随后对照组小鼠腹腔注射等体积柠檬酸缓冲液;多次小剂量组连续 4 d 腹腔注射 STZ 50 mg/kg,单次大剂量组腹腔注射 STZ 150 mg/kg 一次,STZ 注射 2 h 后给小鼠进食以防止低血糖。整个实验期间,STZ 造模组小鼠均采用高脂高糖饲料喂养。实验期间,按照动物实验的 3R 原则给予实验动物人道主义关怀。

1.3.2 标本采集及检测

注射 STZ 前及注射 STZ 后 2、4、6、8、10 周测量 并记录小鼠体重及饮水量;注射 STZ 前及注射 STZ 后 2、4、6、8、10 周各组小鼠禁食 12 h 后采取剪尾法 测量空腹血糖;注射 STZ 后 2、6、10 周各组小鼠人代 谢笼收集 24 h 尿液,采用考马斯亮蓝法测定 24 h 尿 蛋白含量;注射 STZ 后第 10 周各组小鼠眼眶取血, 2000 r/min 离心取上清,用全自动生化分析仪检测血清 TC、TG、LDL、Scr 及 BUN,其中 Scr 采用苦味酸法,BUN 采用脲酶法;小鼠处死后迅速剥离双肾,生理盐水清洗,滤纸吸干,剥离外包膜后称双肾重量,采用公式:肾脏指数=m1/m2×100%(m1 为小鼠双肾总重量;m2 为小鼠的体重);将肾置于 10% 中性福尔马林中固定 24 h,常规脱水、石蜡包埋并切片,石蜡切片梯度脱蜡至水,蒸馏水洗 2 min,过碘酸溶液氧化 10 min,流水洗 10 min,希夫(Schiff)试剂染色 10 min,流水洗 5 min,苏木精染核 2 min,流水冲洗 10 min,常规脱水、透明、封片、拍照。

1.4 统计学方法

各组数据均采用平均数±标准误($\bar{x}\pm s\bar{x}$)表示, 采用 Graph Pad Prism 5.0 软件进行数据分析,组间比较采用 one-way ANOVA 和 Duncantest 检验方法,其中 P<0.05 表示差异显著。

2 结果

2.1 状态观察

注射 STZ 后,给予小鼠充足饲料及饮水,隔天更换垫料以保持环境清洁。STZ 注射 72 h后,单次大剂量注射组及多次小剂量注射组小鼠均出现多饮、多食、多尿情况。STZ 注射后第 4 周和第 5 周,单次大剂量组小鼠均死亡 1 只。到实验结束时,单次大剂量组共死亡小鼠 2 只,而对照组和多次小剂量组无小鼠死亡。

2.2 小鼠体重变化

实验期间,单次大剂量组小鼠体重缓慢增加,而多次小剂量组小鼠体重出现负增长,注射 STZ 10 周后多次小剂量组小鼠体重显著低于对照组和单次大剂量组(*P*<0.05),见图 1。

2.3 小鼠空腹血糖变化

注射 STZ 后,单次大剂量组空腹血糖迅速升高,在第 4 周达到峰值,且显著高于阴对照组及多次小剂量组(P<0.001,P<0.05),但此后呈逐渐降低的趋势;多次小剂量组空腹血糖持续升高并保持稳定在较高水平至实验结束,在注射 STZ 后的第 8~10 周,多次小剂量组空腹血糖显著高于单次大剂量组(P<0.01),见图 2。

2.4 小鼠饮水量变化

注射 STZ 后,单次大剂量组小鼠饮水量迅速增加,在第4周后达到峰值,且显著高于对照组及多次

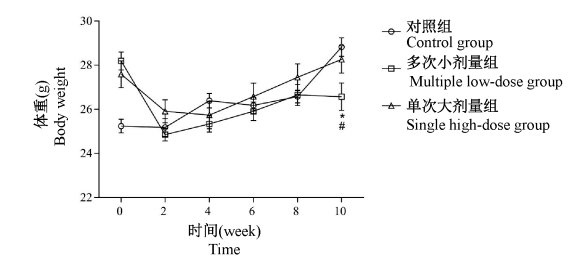
小剂量组(P<0.001, P<0.05),随后有所降低,但仍显著高于正常对照(P<0.001)。注射 STZ 后多次小剂量组饮水量持续升高并保持稳定至实验结束,在第 8~10 周时,显著高于单次大剂量组(P<0.01),见图 3。

2.5 小鼠 24 h 尿蛋白变化

STZ 注射后的第 2、6 周,与对照组相比,单次大剂量组和多次小剂量组的 24 h 尿蛋白含量显著升高,差异具有统计学意义(P<0.001),但造模组之间差异无统计学意义(P>0.05)。第 10 周时,单次大剂量组 24 h 尿蛋白有所降低,且显著低于多次小剂量组(P<0.001),见图 4。

2.6 各组小鼠血清 TC、TG 及 LDL 比较

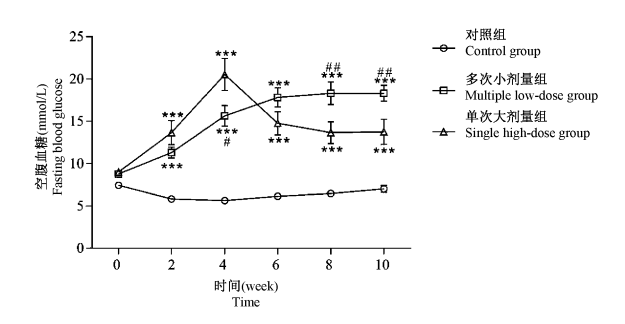
STZ 注射 10 周后,与正常对照组比较,多次小剂量组血清 TC、TG 及 LDL 水平均显著升高,差异



注:与对照组相比,*P<0.05;与单次大剂量组相比,*P<0.05。

图 1 各组小鼠建模前后体重的变化($\bar{x}\pm s\bar{x}$)
Note. Compared with the control group, *P<0.05.
Compared with the single high-dose group, *P<0.05.

Figure 1 Change of body weight in each group before and after modeling



注:与对照组相比,***P<0.001;与单次大剂量组相比,*P<0.05,**P<0.01。

图 2 各组小鼠建模前后空腹血糖的变化($\bar{x}\pm s\bar{x}$)

Note. Compared with the control group, ***P<0.001. Compared with the single high-dose group, *P<0.05, *#P<0.01.

Figure 2 Change of fasting blood glucose in each group before and after modeling

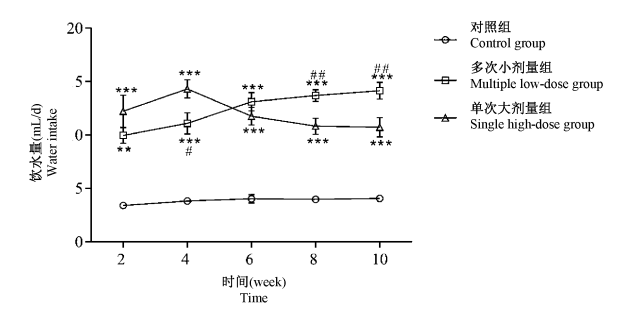
有统计学意义(P<0.001)。相较对照组,单次大剂量组血清 TC 及 LDL 水平显著升高,差异有统计学意义(P<0.001),两组间 TG 水平无显著性差异(P>0.05)。多次小剂量组血清 TG 水平显著高于单次大剂量组(P<0.001),见表 1。

2.7 各组小鼠血清肾功能及肾脏指数比较

STZ 注射 10 周后,与正常对照组相比,多次小剂量组血清尿素氮、血清肌酐及肾脏指数显著升高(P<0.001)。与正常对照组相比,单次大剂量组血清尿素氮及肾脏指数显著升高(P<0.001,P<0.05),血清肌酐无显著性差异(P>0.05)。多次小剂量组血清肌酐及肾脏指数显著高于单次大剂量组(P<0.001,P<0.01),见表 2。

2.8 各组小鼠肾病理的变化

为检测小鼠肾中的还原糖水平,对各组小鼠的肾进行 PAS 染色。与对照组相比,两种剂量组小鼠



注:与对照组相比,**P<0.01,***P<0.001;与单次大剂量组相比,*P<0.05,***P<0.01。

图 3 各组小鼠 24 h 饮水量的变化($\bar{x}\pm s\bar{x}$)

Note. Compared with the control group, $^{**}P<0.01$, $^{***}P<0.001$. Compared with the single high-dose group, $^{\#}P<0.05$, $^{\#}P<0.01$.

Figure 3 Change of water intake in each group

表 1 各组小鼠血清 TC、TG 及 LDL 水平比较(x±sx) **Table 1** Comparion of serum TC, TG and LDL in each group

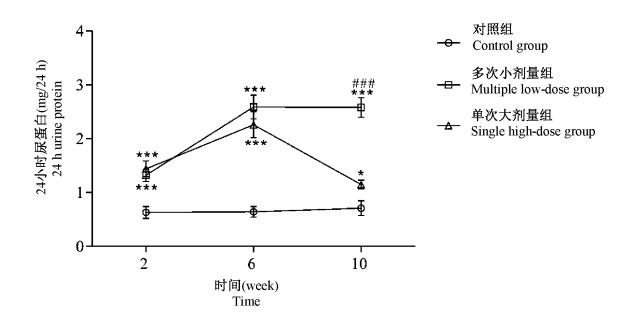
			<u> </u>	0 1
组别 Groups	n	甘油三酯 (mmol/L) TG	胆固醇 (mmol/L) TC	低密度脂蛋白 (mmol/L) LDL
对照组 Control	12	3. 54±0. 08	1. 12±0. 06	1. 25±0. 04
多次小剂量组 Multiple low-dose	18	6. 86±0. 38 ***	2. 04±0. 25 ***	* ### 2. 63±0. 14 ***
单次大剂量组 Single high-dose	16	6. 25±0. 43 ***	1. 29±0. 15	2. 29±0. 15 ***
注:与对照组相比,***P<0.001;与单次大剂量组相比,###P<0.001。				
Note. Compared with the control group, ****P<0.001. Compared with the				

single high-dose group, $^{###}P<0.001$.

肾小球系膜细胞增生,系膜基质增多,且肾小球着色明显增多,还原糖水平显著高于对照组(P<0.001)。两种剂量组比较,发现多次小剂量组还原糖的累积显著高于单次大剂量组(P<0.001),表明多次小剂量组肾小球损伤更为显著,见图 5。

3 讨论

目前 DN 动物模型的建立方法主要分为自发性模型^[7]和诱发性模型^[8]。自发性 DN 模型由于其存在遗传因素作用,糖尿病肾病的产生与临床患者更为相似,但是相较于普通诱导鼠类模型的获得渠道更为狭窄,价格较高,制约了其在 DN 研究中的广泛使用。诱发性 DN 模型采用腹腔或尾静脉注射一定剂量 STZ,从而特异性损伤胰岛 β 细胞^[9],使胰岛素分泌不足,模拟糖尿病的发生,在此基础上继续喂养 4~8 周,可出现 DN 早期症状。脂代谢紊乱是



注:与对照组相比,*P<0.05,***P<0.001;与单次大剂量组相比,**#P<0.001。

图 4 各组小鼠 24 h 尿蛋白的变化($\bar{x}\pm s\bar{x}$)

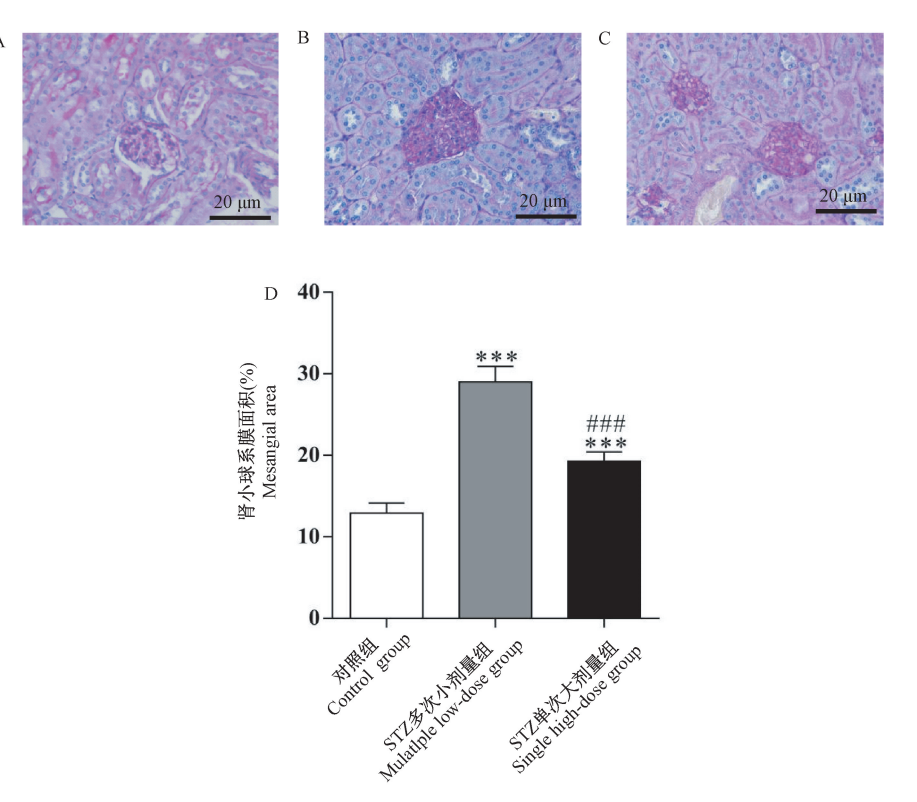
Note. Compared with the control group, ${}^*P<0.05$, ${}^{***}P<0.001$. Compared with the single high-dose group, ${}^{\#\#}P<0.001$.

Figure 4 Change of 24 h urine protein in each group

表 2 各组小鼠肾功能及肾脏指数比较($\bar{x} \pm s\bar{x}$) **Table 2** Comparion of kidney function and kidney

index in each group 血清尿素氮 血清肌酐 肾脏指数 组别 (mmol/L) (mmol/L) (%) Groups BUN Scr ΚI 对照组 21. 19± 0. 85 19.95±3.01 1.20±0.04 Control 多次小剂量组 29. 43±0. 91 *** 77. 51±13. 84 1.69±0.18 Multiple low-dose 单次大剂量组 Single high-dose 16 27.37±1.30*** 31.80±6.25 1.42±0.04*

Note. Compared with the control group, $^*P<0.05$, $^{***}P<0.001$. Compared with the single high-dose group, $^{\#}P<0.01$, $^{\#\#}P<0.001$.



注:A:对照组;B:STZ 多次小剂量组;C:STZ 单次大剂量组;D:肾小球胶原面积百分比统计。与对照组相比,***P<0.001;与单次大剂量组相比,***P<0.001。

图 5 各组小鼠肾形态变化(PAS)

Note. A, Control group. B, Multiple low dose group. C, single high-dose group. D, Statistical results of the PAS staining. Compared with the control group, ***P<0.001. Compared with the single high-dose group, ###P<0.001.

Figure 5 Histological observation of kidney tissues in each group

DN 重要危险因素之一, 芝敏等[10] 比较不同饮食结 构建立2型糖尿病肾病大鼠模型时发现,高糖高脂 可导致糖尿病肾病大鼠更为明显的高血压和更加 严重的微量白蛋白尿,且易导致肾小球硬化,病理 损害相对较重。C57BL/6J 小鼠是有腹部肥胖和 2 型糖尿病基因倾向的近交系小鼠,具有 ob/ob 遗传 背景,对脂肪诱导血糖升高较敏感[11-12]。因此,本 研究以 C57BL/6J 小鼠作为研究对象, 首先利用高 糖高脂饮食诱导出胰岛素抵抗,然后注射 STZ 引起 β细胞受损并诱发形成糖尿病模型,在此基础上继 续喂养高脂高糖饲料,大大缩短了 DN 的造模时间。 已有研究表明 STZ 的剂量与胰岛的损伤程度呈明 显的正相关[13-14],STZ 剂量过大则小鼠易死亡[15], 剂量过小则成模率低[16]。本研究选择150 mg/kg、 50 mg/kg STZ 分别进行单次大剂量腹腔注射及多 次连续小剂量腹腔注射建立 DN 模型。结果显示两 种处理方式均能使模型组小鼠出现尿量增多、饮水 量增多,体重下降等糖尿病症状。单次大剂量组和 多次小剂量组在 STZ 注射后的第 4 周空腹血糖分别 为 20.54 mmol/L 和 15.64 mmol/L,10 周时血糖分别为 13.75 mmol/L 和 18.30 mmol/L。这些结果说明单次大剂量 STZ 注射可使小鼠的血糖水平快速升高,但稳定性较差,随着实验的进行,血糖水平会有所恢复;而多次小剂量 STZ 注射组小鼠的血糖水平升高缓慢,但持续上升,并一直维持在较高水平。

蛋白尿的出现是肾受累的明显特征,表明了糖尿病的并发症—糖尿病肾病的产生[17]。实验中,对小鼠 24 h 尿蛋白量进行动态监测发现,注射 STZ后,单次大剂量组 24 h 尿蛋白持续上升至第 6 周后开始下降,而多次小剂量组小鼠尿蛋白持续升高,在第 10 周多次小剂量组 24 h 尿蛋白显著高于单次大剂量组。造模 10 周后,多次小剂量组血清肌酐水平及肾脏指数均高于单次大剂量组,表明多次小剂量组小鼠肾功能损伤更为显著。基质增生和间质纤维化是糖尿病肾病进展的主要病理特征[18]。肾PAS 染色显示,单次大剂量组肾小球系膜轻度增生,细胞外基质增多,改变不够典型,而多次小剂量组组肾已出现典型病理改变:系膜区明显扩张甚至

弥漫性系膜硬化、系膜细胞增生及细胞外基质显著增多,肾小球、肾小管基底膜增厚。根据 Mogensen对 DN 分期标准^[19],单次大剂量组小鼠至少到达 DN 的 II 期,多次小剂量组小鼠达 DN 的 III 期。上述结果表明,相比于单次大剂量注射 STZ,多次小剂量注射 STZ 对 C57BL/6J 小鼠造成的肾损伤更为明显。

综上所述,实验结果表明单次大剂量和多次小剂量注射 STZ 的方法均能诱发 C57BL/6J 小鼠 DN。单次大剂量注射与多次小剂量注射方法相比,操作简单,用药量小,但对小鼠的毒性较大,死亡率较高,成模率较低,血糖水平波动幅度大,有些小鼠可逐渐恢复至正常血糖水平。多次小剂量连续注射 STZ 联合高糖高脂饮食,小鼠死亡率低,血糖稳定,肾病理改变典型,是理想的 DN 造模方法。

参考文献:

- Sun H, Yuan Y, Sun ZL. Cholesterol contributes to diabetic nephropathy through SCAP-SREBP-2 pathway [J]. Int J Endocrinol, 2013, 2013; 592-576.
- [2] 张丽芬,吕仁和,黄文政.链脲佐菌素糖尿病肾病大鼠模型的建立及稳定性评价 [J].中国比较医学杂志,2014,24(4):8-12.
- [3] 张浩军,赵静波,李平. 糖尿病肾病动物模型研究进展 [J]. 中国药理学通报,2008,24(7):845-848.
- [4] 金勇,朱勇,吴南翔.实验性链脲佐菌素诱导的大、小鼠糖尿病动物模型研究进展[J].中国比较医学杂志,2009,19(3):80-82.
- [5] Ryu HH, Kim HL. Therapeutic effects of epigallocatechin gallate on streptozotocin-induced diabetic nephropathy in mice [J]. Kidney Res Clin Pract, 2012, 31(2): A45.
- [6] 姜骊,陈辉,何勇,等. 高脂饮食加低剂量链脲霉素建立小鼠 2型糖尿病模型 [J]. 中国比较医学杂志,2010,20(3):35-38.
- [7] Jiang T, Huang Z, Lin Y, et al. The protective role of Nrf2 in streptozotocin-induced diabetic nephropathy [J]. Diabetes, 2010, 59(4): 850-860.
- [8] 蒋朝晖, 吕玉晶, 赵芳, 等. 高脂高糖饮食结合链脲佐菌素

- 建立2型糖尿病大鼠模型的改良 [J]. 中国比较医学杂志, 2011, 21(1): 80-82.
- [9] Elsner M, Guldbakke B, Tiedge M, et al. Relative importance of transport and alkylation for pancreatic beta-cell toxicity of streptozotocin [J]. Diabetologia, 2000, 43(12): 1528-1533.
- [10] 芝敏,梁新华,徐佩茹.不同饮食结构建立的2型糖尿病肾病大鼠模型比较[J].中国老年学,2013,34(8):2179-2181.
- [11] Lillioja S, Mott DM, Spraul M, et al. Insulin resistance and insulin secretory dysfunction as precursors of non-insulindependent diabetes mellitus: Prospective studies of Pima Indians [J]. N Engl J Med, 2013, 329(27): 1988-1992.
- [12] Rebuffé-Scrive M, Surwit R, Feinglos M, et al. Regional fat distribution and metabolism in a new mouse model (C57BL/6J) of non-insulin-dependent diabetes mellitus [J]. Metabolism, 1993, 42(11): 1405-1409.
- [13] 孙晨靓,朱铭岩,王志伟,等. 链脲菌素剂量对 C57BL/6J 小鼠糖尿病诱导效应的影响[J]. 中华胰腺病杂志,2009,9 (1):24-26.
- [14] Inada A, Kanamori H, Arai H, et al. A model for diabetic nephropathy; advantages of the inducible cAMP early repressor transgenic mouse over the streptozotocin-induced diabetic mouse
 [J]. J Cell Physiol, 2010, 215(2); 383-391.
- [15] Lv Z, Hu M, Fan M, et al. Podocyte-specific Rac1 deficiency ameliorates podocyte damage and proteinuria in STZ-induced diabetic nephropathy in mice [J]. Cell Death Dis, 2018, 9 (3): 342.
- [16] 田河林, 韦立顺, 许忠新, 等. 糖尿病小鼠肾小球微血管密度与 VEGF 表达的研究 [J]. 中国病理生理杂志, 2012, 28 (2): 358-361.
- [17] Vogt L, Roelofs JJ. Introduction to pathogenetic mechanisms of diabetic nephropathy: pathophysiology and clinical aspects [M]. USA: Diabetic Nephropathy, 2019.
- [18] Mason RM, Wahab NA. Extracellular matrix metabolism in diabetic nephropathy [J]. J Am Soc Nephrol, 2003, 14(5): 1358-1373.
- [19] Mogensen CE, Schmitz A, Christensen CK. Comparative renal pathophysiology relevant to IDDM and NIDDM patients [J]. Diabetes Metab Rev, 1988, 4(5): 453-483.

[收稿日期]2020-10-05